

УДК 532.77 + 541.8

ХИМИЯ

Академик Б. П. НИКОЛЬСКИЙ, В. В. ПАЛЬЧЕВСКИЙ,  
Л. А. ПОЛЯНСКАЯ, Н. П. КИСЕЛЕВА, Г. Ф. ПУСТАРНАКОВА

СПЕКТРОФОТОМЕТРИЧЕСКОЕ ИССЛЕДОВАНИЕ  
ПРОТОЛИТИЧЕСКИХ СВОЙСТВ ЛЕЙКО-НЕЙТРАЛЬНОГО  
КРАСНОГО В ВОДНЫХ РАСТВОРАХ

Методом окислительного потенциала в работе <sup>(1)</sup> определены близкие по значению константы диссоциации нейтрального красного I и лейко-нейтрального красного II. Настоящее исследование проведено с целью определения констант диссоциации II независимым спектрофотометрическим методом и уточнения схемы его протолитической диссоциации. Низкий окислительный потенциал системы I-II и, как следствие, подверженность II окислению кислородом воздуха предъявили особые требования к методике эксперимента. Цельнопаянная стеклянная установка, принципиальная схема которой описана ранее <sup>(2, 3)</sup>, позволяет осуществить все операции (восстановление красителя, приготовление раствора II заданной кислотности и ионной силы, контроль pH, переливание раствора в съемную кювету) в атмосфере инертного газа. Измерения выполнены на спектрофотометре с кварцевой оптикой СФ-4А, снабженном приспособлением для терmostатирования растворов при температуре  $t = 25 \pm 0,1^\circ\text{C}$ . Воспроизводимость значений оптической плотности составляла около 0,8%. Растворы II приготавливались либо восстановлением I на платиновом катализаторе при различных значениях pH, либо слиянием стандартного раствора с буфером. Для определения молярных коэффициентов поглощения II необходимо было в первом случае учесть адсорбцию лейкоформы на массе катализатора, причем истинная концентрация II определялась переводом II в окисленное состояние I\*. Электронные спектры поглощения II изучены в области pH 1–12 для ионной силы  $I$  равной 1 и 0,01 и концентрации  $C = 2 \cdot 10^{-5}$  мол/л, ионная сила  $I = 1$

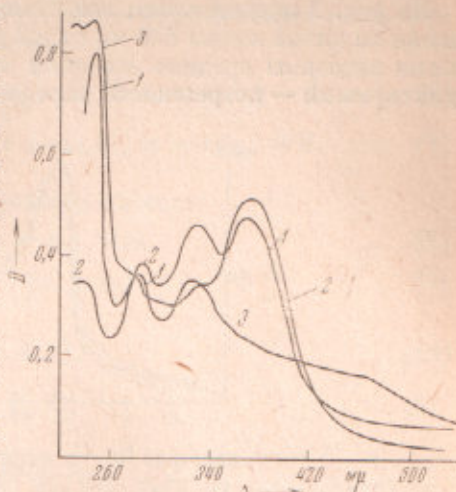
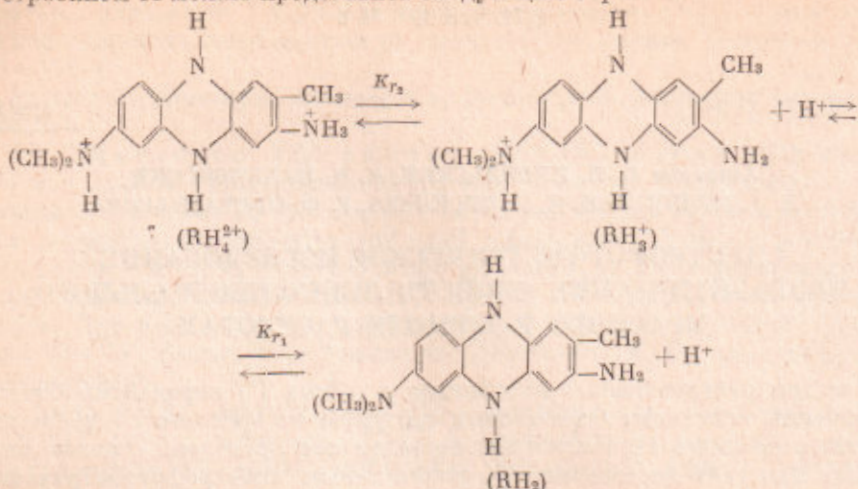


Рис. 1. Электронные спектры поглощения лейко-нейтрального красного в водных растворах при различных значениях pH: 1 — 2,86, 2 — 4,76, 3 — 7,17. Концентрация  $C = 2 \cdot 10^{-5}$  мол/л, ионная сила  $I = 1$

В области pH 2,5–7 при контакте с кислородом воздуха лейко-нейтральный красный переходит в промежуточный продукт, обладающий сильной флуоресценцией. Предварительное изучение флуоресцентного вещества, проведенное нами, показало, что лейко-форма в условиях, исключающих контакт с кислородом, не переходит в флуоресцентное вещество и что оно не образуется при смешении нейтрально-красного с лейко-формой.

\* В области pH 2,5–7 при контакте с кислородом воздуха лейко-нейтральный красный переходит в промежуточный продукт, обладающий сильной флуоресценцией. Предварительное изучение флуоресцентного вещества, проведенное нами, показало, что лейко-форма в условиях, исключающих контакт с кислородом, не переходит в флуоресцентное вещество и что оно не образуется при смешении нейтрально-красного с лейко-формой.

со строением II можно представить следующим образом:



Характеристики основных полос поглощения протолитических форм II приведены в табл. 1.

На рис. 2 представлены зависимости молярного коэффициента поглощения на длине волны 330 м $\mu$  от pH для I равной 0,01 и 1. Сплошными линиями показаны средние значения молярных коэффициентов поглощения, пунктирующими — погрешность определения, оцененная в 2%.

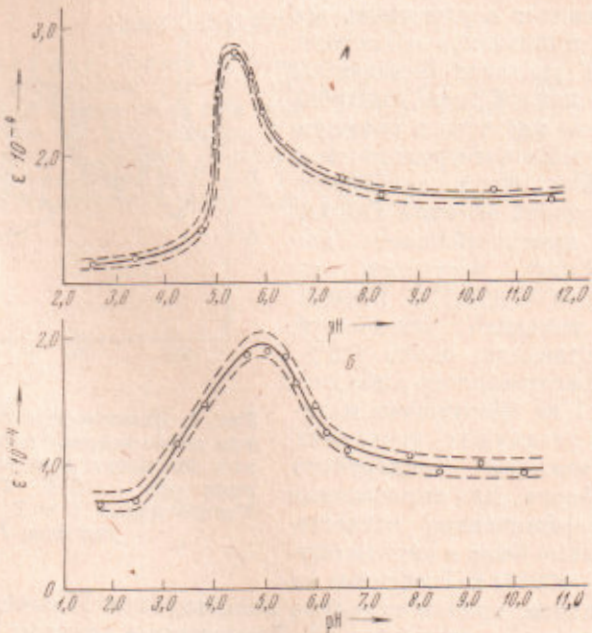


Рис. 2. Зависимость молярного коэффициента поглощения  $\epsilon$  на длине волны  $\lambda = 330$  мкм от pH для водных растворов лейко-нейтрального красного при ионной силе  $I = 0,01$  (A) и ионной силе  $I = 1$  (B)

Оптическая плотность  $D$  раствора II определяется выражением

$$D = \varepsilon Cl = \varepsilon_{\text{RH}_4^{+}} C_{\text{RH}_4^{+} l} + \varepsilon_{\text{RH}_3^{+}} C_{\text{RH}_3^{+} l} + \varepsilon_{\text{RH}_2} C_{\text{RH}_2 l}, \quad (1)$$

где  $\varepsilon_i$  — молярные коэффициенты поглощения протолитических форм II,  $C_i$  — концентрации протолитических форм II, связанные с общей концентрацией

рацией II C соотношением

$$C = C_{\text{RH}_4^{2+}} + C_{\text{RH}_3^+} + C_{\text{RH}_2}, \quad (2)$$

Уравнение (1) может быть преобразовано:

$$D = \left( \varepsilon_{\text{RH}_4^{2+}} + \frac{K_{r_2} \varepsilon_{\text{RH}_3^+}}{a_{\text{H}^+}} + \frac{K_{r_1} K_{r_2} \varepsilon_{\text{RH}_2}}{a_{\text{H}^+}^2} \right) Cl \Bigg/ \left( 1 + \frac{K_{r_2}}{a_{\text{H}^+}} + \frac{K_{r_1} K_{r_2}}{a_{\text{H}^+}^2} \right), \quad (3)$$

где  $a_{\text{H}^+}$  — активность ионов водорода в растворе и

$$K_{r_1} = C_{\text{RH}_2} a_{\text{H}^+} / C_{\text{RH}_3^+}, \quad (4)$$

$$K_{r_2} = C_{\text{RH}_3^+} a_{\text{H}^+} / C_{\text{RH}_4^{2+}}, \quad (5)$$

константы диссоциации

Существует несколько расчетных методов определения констант диссоциации по зависимости  $D - \text{pH}$  ( $\varepsilon - \text{pH}$ ) (4). Мы воспользовались методами Анга (5) и Тамера — Фойгта (6). Зависимость  $\varepsilon - \text{pH}$  в области преобладания формы  $\text{RH}_3^+$  имеет экстремум. По Ангу, на кривой  $\varepsilon - \text{pH}$  выбираются точки, лежащие на наклонных участках, имеющие общую ординату ( $\varepsilon$ ) и разные абсциссы, отвечающие двум значениям активности водородных ионов  $a_1$  и  $a_2$ . Из уравнений (1) и (3) для сопряженных растворов с активностями ионов водорода  $a_1$  и  $a_2$  следует:

$$a_1^2 (\varepsilon - \varepsilon_{\text{RH}_4^{2+}}) + a_1 K_{r_2} (\varepsilon - \varepsilon_{\text{RH}_3^+}) + K_{r_1} K_{r_2} (\varepsilon - \varepsilon_{\text{RH}_2}) = 0, \quad (6)$$

$$a_2^2 (\varepsilon - \varepsilon_{\text{RH}_4^{2+}}) + a_2 K_{r_1} (\varepsilon - \varepsilon_{\text{RH}_3^+}) + K_{r_1} K_{r_2} (\varepsilon - \varepsilon_{\text{RH}_2}) = 0. \quad (7)$$

Функции Анга  $P$  и  $Q$  определяются следующим образом:

$$P = (\varepsilon - \varepsilon_{\text{RH}_2}) (a_1 + a_2) / a_1 a_2, \quad (8)$$

$$Q = (\varepsilon_{\text{RH}_3^+} - \varepsilon) / (a_1 + a_2). \quad (9)$$

Тогда

$$\varepsilon = \varepsilon_{\text{RH}_4^{2+}} + K_{r_2} Q, \quad (10)$$

$$\varepsilon = \varepsilon_{\text{RH}_3^+} - K_{r_1} P. \quad (11)$$

Из наклона экспериментальной зависимости  $\varepsilon - P$  определяется  $K_{r_1}$  и  $\varepsilon_{\text{RH}_3^+}$ .  $K_{r_2}$  определяется либо из уравнений (9) и (10), либо из экспериментальной зависимости  $\varepsilon - Q$ .

Таблица 1

Характеристики основных полос поглощения (положение полосы и молярный коэффициент поглощения  $\varepsilon$ ) протолитических форм лейко-нейтрального красного II при ионной силе  $I = 0,01$

Протолит. формы II	$\lambda_1, \text{мк}$	$\varepsilon_1 \cdot 10^{-4}$	$\lambda_2, \text{мк}$	$\varepsilon_2 \cdot 10^{-4}$	$\lambda_3, \text{мк}$	$\varepsilon_3 \cdot 10^{-4}$
$\text{RH}_4^{2+}$	250	4,1	280	0,6	365—370	1,0
$\text{RH}_3^+$	300	1,2	330	2,0	380—390	1,2
$\text{RH}_2$	235	3,5				

Уравнения для определения констант диссоциации по Тамеру — Фойгту получаются при дифференцировании (3) по pH и несложных преобразований выражения для точки экстремума:

$$K_{r_1} K_{r_2} = a_0^2 \frac{\varepsilon_{\text{экс}} - \varepsilon_{\text{RH}_4^{2+}}}{\varepsilon_{\text{экс}} - \varepsilon_{\text{RH}_2}}, \quad (12)$$

$$K_{r_2} = \frac{1}{\varepsilon_{\text{экс}} - \varepsilon} [(\varepsilon - \varepsilon_{\text{RH}_4^{2+}}) a_{\text{H}^+} - a_0 (\varepsilon_{\text{экс}} - \varepsilon)] + \\ + \frac{a_0}{\varepsilon_{\text{экс}} - \varepsilon} \left[ \frac{(\varepsilon - \varepsilon_{\text{RH}_2^+}) (\varepsilon_{\text{экс}} - \varepsilon_{\text{RH}_4^{2+}})}{\varepsilon_{\text{экс}} - \varepsilon_{\text{RH}_2^+}} \frac{a_0}{a_{\text{H}^+}} - \varepsilon_{\text{экс}} - \varepsilon_{\text{RH}_3^+} \right], \quad (13)$$

где  $\varepsilon$  — молярный коэффициент поглощения раствора, имеющего активность ионов водорода  $a_{\text{H}^+}$ , произвольно выбираемую на кривой  $\varepsilon = \text{pH}$ ,  $\varepsilon_0$  — экстремальный коэффициент поглощения раствора с активностью водородных ионов  $a_0$ . Результаты определения констант диссоциации обоими методами представлены в табл. 2. Анализ погрешностей показал, что значения  $\text{pH}$

Таблица 2  
Константы диссоциации лейко-нейтрального красного

Метод	$I$	$\text{p}K_{r_1}$	$\text{p}K_{r_2}$
Тамера — Фойгта	0,01	$6,1 \pm 0,3$	$4,0 \pm 0,3$
	1	$6,4 \pm 0,3$	$4,3 \pm 0,3$
Анга	1	$6,2 \pm 0,3$	$4,5 \pm 0,3$
Потенциометрические данные (1)	0,01	$6,2 \pm 0,1$	$4,4 \pm 0,1$
	1	$6,4 \pm 0,1$	$4,4 \pm 0,1$

диссоциации определены с интервалом  $\pm 0,3$  при доверительной вероятности 90 %. Константы диссоциации, полученные двумя расчетными методами, совпадают в пределах погрешности опыта и не противоречат потенциометрическим значениям.

Ленинградский государственный университет  
им. А. А. Жданова

Поступило  
30 VII 1970

#### ЦИТИРОВАННАЯ ЛИТЕРАТУРА

- <sup>1</sup> Б. П. Никольский, В. В. Пальчевский и др. ДАН, 194, № 6 (1970).
- <sup>2</sup> Б. П. Никольский, В. В. Пальчевский, ЖФХ, 32, в. 7, 1506 (1958). <sup>3</sup> Х. М. Якубов, В. В. Пальчевский, Г. Г. Селихов, Вестн. Ленингр. унив., № 4, сер. физ. и хими, в. 1, 87 (1965). <sup>4</sup> Б. П. Никольский, В. В. Пальчевский, В кн.: Спектрофотометрические методы в химии комплексных соединений, под ред. В. М. Вдовенко, М.—Л., 1964. <sup>5</sup> K. P. Ang, J. Phys. Chem., 62, 1109 (1958). <sup>6</sup> B. I. Thamser, A. F. Voigt, J. Phys. Chem., 56, 225 (1952).